

PWM 인버터의 출력파형개선 및 전압제어에 관한 연구

A Study on the Improvement of Output Waveform and Voltage Control in PWM Inverter

정 원 석*

김 국 진

전 희 종

박 충 규

동양에레베이터(주) 개발부

충남대학교 전기공학과

충남대학교 전기공학과

충남대학교 전기공학과

ABSTRACT

In this paper, the technique of particular harmonics elimination in three-phase PWM Inverter is discussed. And voltage control technique is derived whereby harmonics elimination is possible in variable voltage variable frequency three-phase I.M.

The results show that experiments are in a good agreement with simulation based on the theory.

I. 序論

交流電動機는 종래 商用 電源周波數로 일정한 速度로 轉轉되어 졌다. 그러나 트랜지스터나 사이리스터 등의 電力用 半導體 素子의 開發로 일하여 인버터나 사이크로 콘버터등의 電力變換機를 간단히 構成할 수가 있게 되어, 連續的으로 轉轉周波數을 變換시키는 것이 容易하게 될으로써 交流電動機의 可變速 技術은 极速히 發達하였다.^[1, 2, 3]

그러나 이러한 電力變換 裝置는 半導體素子의 ON, OFF 스위칭作用으로 많은 高調波成分이 포함되어 交流電動機의 損失을 增加시키고, 電動機온도, 電源系統 電壓의 不平形 및 周邊 通信系統에 難得 등은 發生 시킨다.^[1, 2]

이러한 高調波成分을 줄이거나 除去하기 위하여 RIMAL K. BOSE 등은 "Natural sampling, Uniform sampling" 方式을^[3], HASMUKH S. PATEL 등은 "特定高調波除去(PHE)" 方式을^[1, 2] 提示하였다.

本研究에서는 펄스폭변조(PWM) 인버터의 出力段에서 發生되는 特定高調波를 除去(PHE: Particular Harmonics Elimination)하고 同時에 基本波 電壓을 制御하는 技法을 理論的으로

說明하고, 提案의妥當性을 立證하기 위해 實驗을 通해 이를 具現해 보고자 한다.

本研究에서의 전체 시스템 制御 및 管理는 16비트 마이크로프로세서(Intel 8086)를 利用하였다.

2. PWM 인버터 理論

交流電動機를 인버터 裝置로 可變速制御 할 경우 인버터 出力電壓 V 와 出力周波數 f 의 比率, V/f 比를 一定하게 制御한다. 즉 電動機의 回轉數를 낮게 할 경우에는 電壓도 낮게 하고 回轉數를 높일 경우에는 電壓을 높게 制御하여 電動機의 磁束을 어떤 회전수에서도 一定하게 하여 效率의in 運轉을 하도록 하고 있다.

이와같은 電壓制御 方法에는 PAM(Pulse Amplitude Modulation)과 PWM(Pulse Width Modulation)이 있다.

PAM 制御方式은 電壓의 피크치를 變換시켜 出力電壓을 制御하는 것이고, PWM 制御方式은 電壓의 피크치는 固定되어 있고 그 시간폭을 變換시킴으로서 平均電壓을 制御하는 것이다. 즉 PAM 制御는 인버터 出力電壓의 制御를 直流側 電壓으로 制御하고, 인버터部는 周波數 變調만을 한다. PWM 制御 인버터는 그림 2-1과 같이 直流部 電壓은 一定하며 인버터부에서 電壓, 周波數의 雙方을 制御하는 方式이다.

이와같이 PWM 制御方式은 인버터부 스위칭 素子(PT1~PT6)의 스위칭 패턴에 의해 두가지 制御를 담당하므로 制御回路는 PAM방식에 비하여 약간 複雜하지만 主回路가 簡單한 長點이 있다.

PWM 波形에는 바이풀라형과 유니풀라형으로 分類할 수 있는데, 本研究에서는 그림 2-2와 같은 바이풀라형 PWM 波形에 대하여 考察한다.

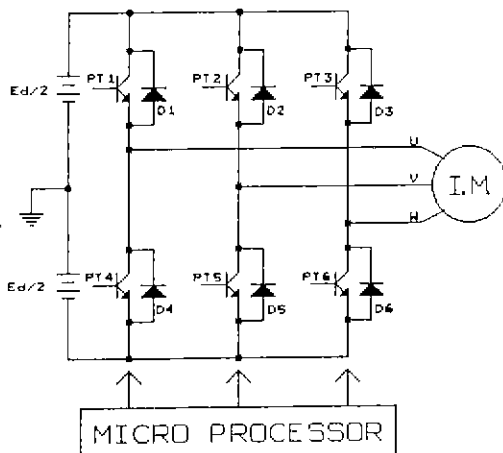


Fig. 2-1 Block Diagram of PWM Inverter

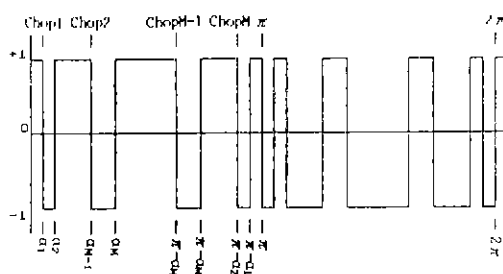


Fig. 2-2 Output Waveform of PWM Inverter

3. 數值解析을 위한理論的考慮

非正弦波函數 $f(\omega t)$ 는一般的으로 式(3-1)과 같이 나타낼 수 있다.

$$f(\omega t) = a_0 + \sum_{n=1}^{\infty} [a_n \sin(n\omega t) + b_n \cos(n\omega t)] \quad \dots (3-1)$$

그림 2-2의 PWM 인버터 出力波形은 式(3-2)와 같이 4分波對稱(Quarter Wave Symmetry)으로 解析이 가능하므로, Fourier級數로 展開하면 直流成分 a_0 와 偶成分 b_n 은 0이되고 正弦波成分 a_n 만 式(3-3)과 같이 남게 된다.

$$f(\omega t) = f(\pi - \omega t) \quad \dots (3-2)$$

$$a_n = \frac{4}{\pi n} [1 + 2 \sum_{k=1}^{M-1} (-1)^k \cos nka_k] \quad \dots (3-3)$$

n:高調波次數, k=1, 2, 3, 4, ..., M, M:초평
횟수, a_k :초평각

여기서 $(M-1)$ 개의 高調波成分을 除去하고 同時에 基本波電壓成分을 制御하기 위해서는 M개의 變數가 필요하다. 즉, 초평각 $a_1, a_2, a_3, \dots, a_M$ 의 變化를 알아야 한다. 式(3-3)에서 基本波成分은 式(3-4)와 같이 구할 수 있다.

$$L(a) = a_1 = \frac{4}{\pi n} [1 + 2 \sum_{k=1}^{M-1} (-1)^k \cos a_k] \quad \dots (3-4)$$

여기서 초평각 $a_1 \sim a_M$ 은 다음을 만족해야 한다.

$$0 \leq a_1 < a_2 < a_M < \pi/2 \quad \dots \dots (3-5)$$

式(3-4)에서 常數量 省略하고 다시 쓰면 式(3-6)이 된다.

$$L(a) = 1 + 2 \sum_{k=1}^{M-1} (-1)^k \cos a_k \quad \dots \dots (3-6)$$

$(M-1)$ 개의 高調波成分을 除去하려면 式(3-3)에서 式(3-7)과 같은 制約函數가 염여진다.

$$f(a) = 1 + 2 \sum_{k=1}^{M-1} (-1)^k \cos nka_k = 0 \quad \dots \dots (3-7)$$

M: 除去하고자 하는 高調波次數

식(3-7)을 벡터로 테이블로 表現하면 式(3-8)로 된다.

$$f(a) = 0 \quad \dots \dots (3-8)$$

그리고 $(M-1)$ 개의 高調波成分을 除去하고 基本波成分을 制御하기 위해서는 式(3-9)와 같은 Hamiltonian函數(H)의 制御理論이導入된다.

$$H(a, \lambda) = L(a) + \lambda^T f(a) \quad \dots \dots (3-9)$$

여기서 $\lambda^T = [\lambda_1, \lambda_2, \dots, \lambda_{M-1}]$: Lagrange multiplier

$L(a)$ 의 固定値를 구하기 위한 必要充分條件는 式(3-10)과 (3-11)과 같다.

$$f(a)=0 \quad \text{및} \quad Ha=0 \quad \dots \dots (3-10)$$

여기서

$$Ha = \left[\frac{\partial H}{\partial a_1}, \frac{\partial H}{\partial a_2}, \dots, \frac{\partial H}{\partial a_M} \right]^T \quad \dots \dots (3-11)$$

式(3-10)과 式(3-11)은 $(2M-1)$ 개의 變數 a 와 λ 에 대해 $(2M-1)$ 개의 方程式을 준다.

그런데 이 多元 1次聯立方程式은 非線形方程式이므로 Newton Raphson 數值解析法에 의해

구해질 수 있다. 또한 式(3-6)에서 基本波電壓의 크기를 0에서 最大값(100%)까지 變化시키면 特定高調波除去와 同時に 電壓制御도 可能한 각각의 채팅각을 구할 수 있다.

4. PWM 데이터 및 하드웨어構成

위와 같은 方法으로 特定高調波除去 및 電壓制御를 위한 채팅각 $\alpha_1 \sim \alpha_6$ 이 설정되었다면, PWM 波形 發生을 위해서는 그림 2-1에서 電力用 트랜지스터 1(PT1)의 베이스 信號는 그림 4-1과 같은 形態로 만들어준다.

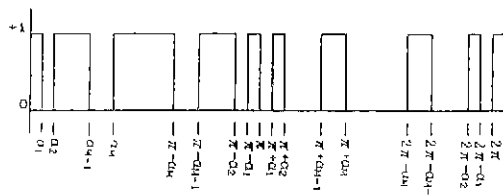


Fig. 4-1 Base Signal of PT1

그리고 PT2, PT3의 베이스 信號는 PT1의 베이스 信號보다 位相을 120° , 240° 遲延되게 하고 PT4, PT5, PT6의 信號는 同一相의 베이스 信號보다 180° 位相差를 두게한다.

PT1 ~ PT6의 베이스 信號를 디지털 方式으로 處理하기 위해 1周期(360°)의 適當한 데이터를 順覽表로 만들어 EPROM에 記憶하여, 要求되는 電壓과 周波數에 맞게 引出하여 使用하는 ROM-Based方式를 採擇하였다. 여기서 데이터의 量은 ROM構成領域에 벗어나지 않는 한 많이 할

수록 理論値에 더욱 近似한 波形을 만들 수 있다.

本研究에서는 0.5° 당 1개의 데이터, 즉 1周期當 720개의 데이터로 하고, 電壓制御를 위한 電壓듀티는 3%~100%로 設定, 총 140 等分하여 27512(64K-Byte) EPROM에 記憶하여 使用하였다.

데이터를 處理하는 過程에서 注意할 점은 電力用 트랜지스터의 스위칭 遷延時間(600V 30A 경우: $10\mu s$) 때문에 同一한 相의 양쪽 電力用 트랜지스터가 同時に ON狀態로 되어 短路(SHORT)이 될 수 있으므로 스위칭 되는 瞬間에 時間遲延(Time Delay)을 考慮하여야 한다.

本研究에서는 0.5° 의 遷延時間은 주어 그림 4-2와 같이 베이스 信號를 만들었다. 그러나 時間遲延각도를 너무 크게하면 理論値에 비하여 큰 오차가 發生하므로 適當한 時間遲延을 選定해야만 한다.

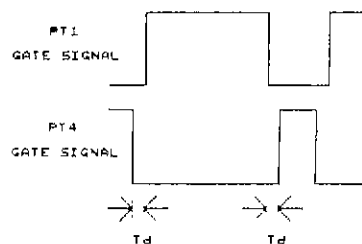


Fig. 4-2 Time Delay

그림 4-3은 PWM 波形 發生을 위한 하드웨어構成圖를 나타내고 있다.

인버터의 出力周波數 및 電壓을 制御하기 위해 PWM 波形 發生을 위한 電力用 트랜지스터

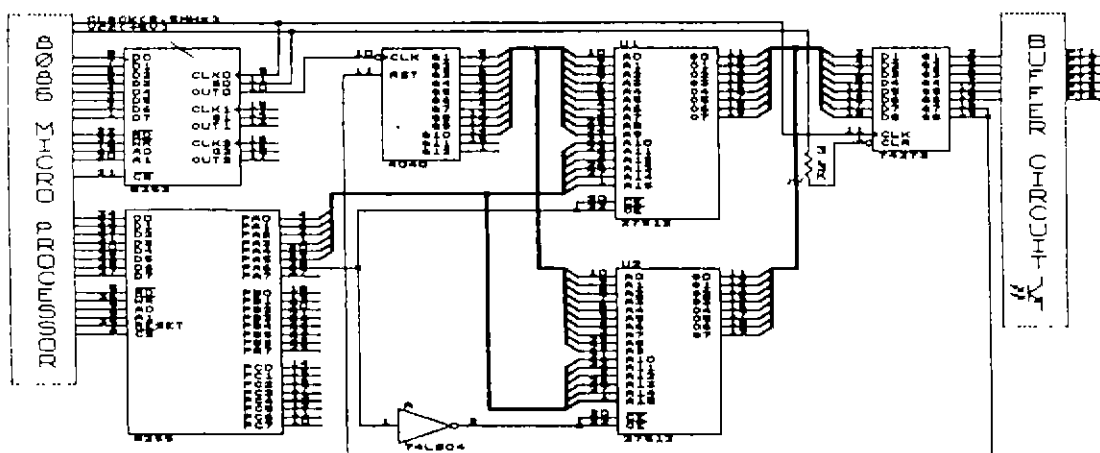


Fig. 4-3 Block Diagram of Hardware for Generation of PWM Waveform

의 베이스 신호 데이터가 기록되어 있는 EEPROM의 어드레스 라인 $A_0 \sim A_{15}$ 중 주파수 고정은 $A_0 \sim A_9$ 를, 전압 고정은 $A_{10} \sim A_{15}$ 를 사용한다.

인버터의 출력주파수를 고정하기 위해서는 Programmable Interval Timer(8253)를 사용하였으며, 8253에 의해 주파수가 고정된 구성을 하는 필스 카운트(4040)의 어드레스 라인 $Q_1 \sim Q_{10}$ 에서 0~1023까지 어드레스를 발생시켜 반복시키면 그 어드레스에 해당되는 PWM 신호 데이터가 ROM(27512) 데이터 버스를 통해 출력된다.

또한, 인버터의 전압을 제어하기 위해서는 Programmable Peripheral Interface(8255)를 사용하여 EEPROM의 $A_{10} \sim A_{15}$ 에 해당하는 PWM 신호 데이터가 ROM 데이터 버스를 통하여 출력된다. 또한 텁치(74274)는 이 데이터를维持시켜 정확한 신호를 출력시켜 PWM 인버터의 전력용 트랜지스터의 베이스단자를 구동하게 된다.

5. 시뮬레이션 및 실험 결과

본 연구에서 提示한 誘導電動機의 고정속 제어에서 특정 고조파 제거 및 전압 제어 기법을 입증하기 위하여 2~4장에서 설명된 시스템의構成과 알고리즘으로 시뮬레이션 및 실험을 具現해 보았다.

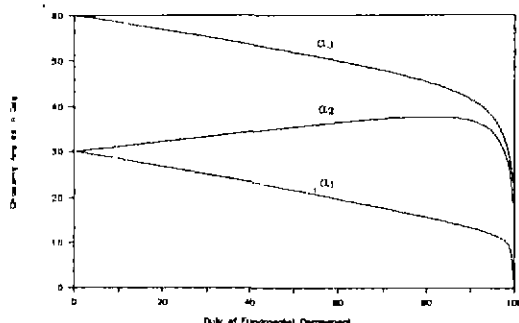


Fig. 5-1 Chopping Angles for Fund. Voltage Magnitude at no 5,7th

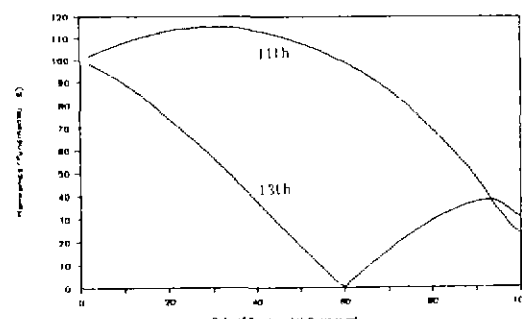


Fig. 5-2 Changing of 11,13th Harmo. Compo. at no 5,7th

그림 5-1은 數值解析에 의해 구해진 5,7次高調波成分의 제거 때 기본파成分의 크기에 따른 쇄핑각 $\alpha_1, \alpha_2, \alpha_3$ 의 变化를 나타내고 있으며, 그림 5-2는 이 때 11,13차 高調波成分의 变化를 나타내고 있다.

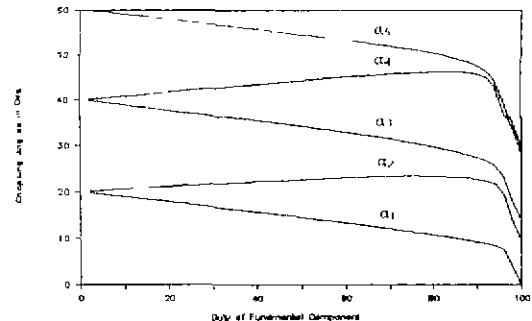


Fig. 5-3 Chopping Angles for Fund. Voltage Magnitude at no 5,7,11,13th

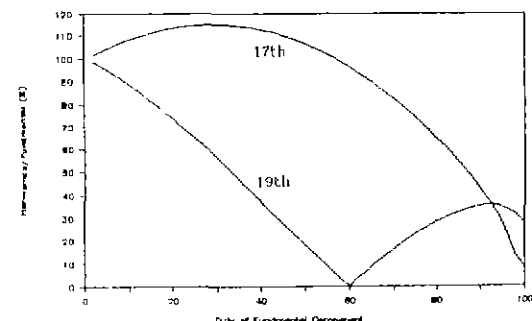
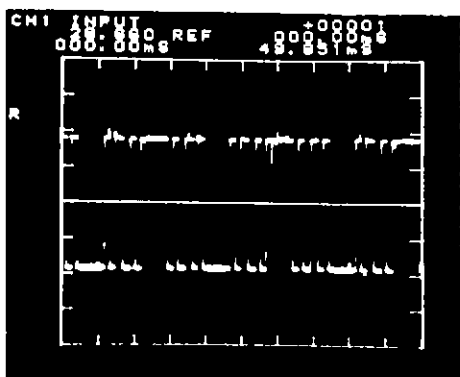


Fig. 5-4 Changing of 17,19th at no 5,7,11,13th

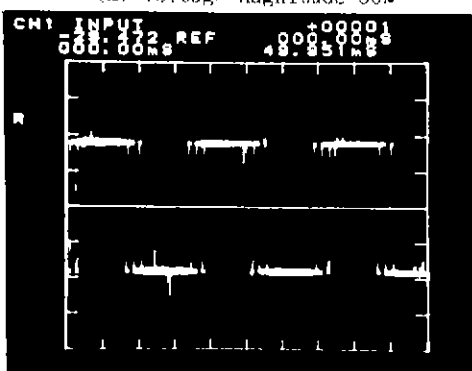
그림 5-3은 5,7,11,13次 高調波成分의 제거 때 기본파成分의 크기에 따른 쇄핑각 $\alpha_1, \alpha_2, \alpha_3, \alpha_4, \alpha_5$ 의 变化를 나타내고 있으며, 그림 5-4는 이 때 17,19次 高調波成分의 变化를 나타내고 있다.

그림 5-5는 주파수 60(Hz), 5,7次 高調波成分의 제거 때, 純抵抗 부하에서의 기본파成分의 크기 50% 및 100%에 대한 인버터의 출력파형을 나타내고 있다.

그림 5-6은 그림 5-5의 경우에 대한 高調波成分의 크기를 파악하기 위한 스펙트럼 분석의 결과이다. 여기서 기본파成分의 크기 50%일 때 13高調波成分은 작으나 相對的으로 11,15高調波成分은 상당히 크게 나타났다. 한편, 기본파成分의 크기 100%에서는 11高調波成分은 극히減少하였고, 13高調波成分은 50% 경우보다 조금 增加하였다. 이 檢討에서 그림 5-6은 그림 5-2의 시뮬레이션 결과와 잘 一致함을 보여준다.

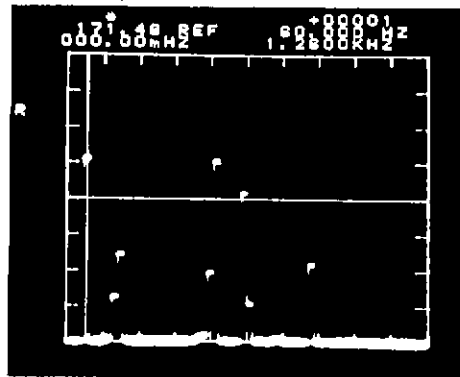


(a) Voltage Magnitude 50%

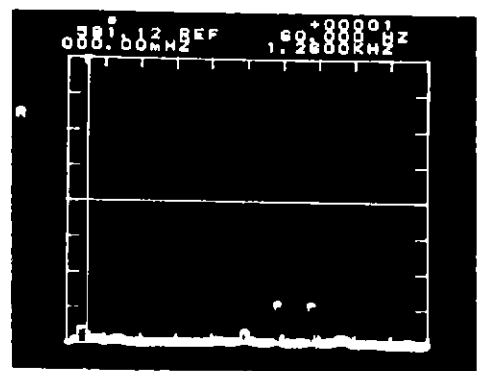


(b) Voltage Magnitude 100%

Fig. 5-5 Output Voltage Waveforms at no 5,7th



(a) Voltage Magnitude 50%

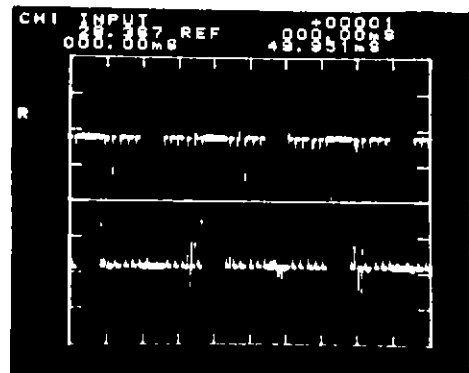


(b) Voltage Magnitude 100%

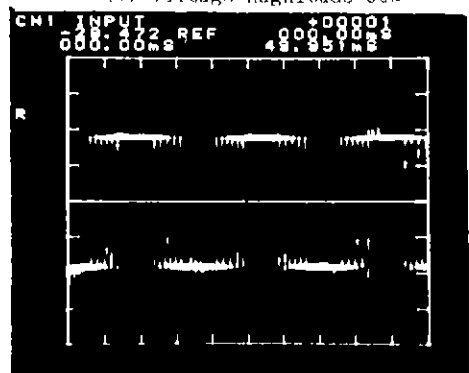
Fig. 5-6 Spectra(f=60Hz) at no 5,7th

結果는 그림 5-4의 샘플레이션 결과와 比較할 때 역시 잘一致하고 있다.

그림 5-9는 5,7次 高調波成分의 除去時, 電動機 負荷에 있어서 基本波成分의 크기 50% 및 100%일 때의 線間電壓과 電流波形을 나타내고 있다. 基本波成分의 크기 50%에서는 11次 高調波成分의 영향으로 電流波形이 많이 弯型되어 있으나, 100%에서는 거의 正弦波에 가까움을 볼 수 있다.



(a) Voltage Magnitude 50%

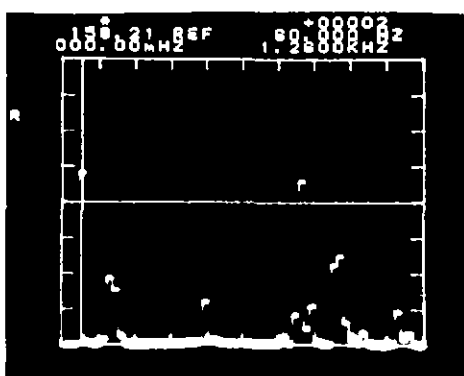


(b) Voltage Magnitude 100%

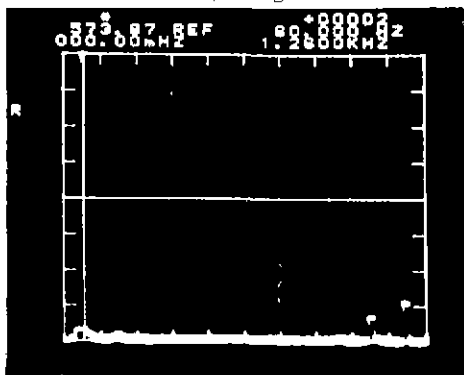
Fig. 5-7 Output Voltage Waveforms at no 5,7,11,13th

그림 5-7은 周波數 60(Hz), 5,7,11,13次 高調波成分의 除去時, 純抵抗負荷에서의 基本波成分의 크기 50% 및 100%에 대한 인버터의 出力波形을 나타내고 있다.

그림 5-8은 그림 5-7의 경우에 대한 스펙트럼 分析의 結果이다. 여기서 基本波成分의 크기 50%일 때 17 및 그 以上의 高調波成分들이 크게 나타났으며, 基本波成分의 크기 100%에서는 17高調波成分은 매우 減少하였고, 그 以上的 高調波成分들도 거의 나타나지 않았다. 이



(a) Voltage Magnitude 50%



(b) Voltage Magnitude 100%

Fig. 5-8 Spectra($f=60\text{Hz}$) at no 5, 7, 11, 13th

6. 結論

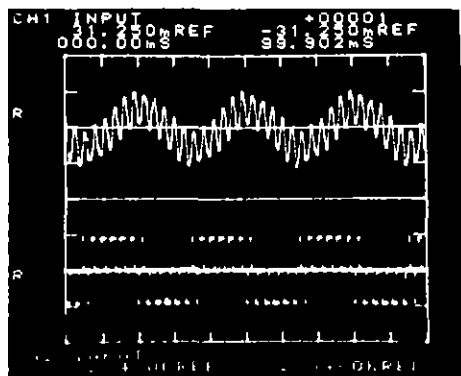
本研究에서는 産業分野에 널리 使用되고 있는 誘導電動機의 可變速 制御器에서 PWM인버터의 特定高調波除去 및 電壓制御技法을 理論的으로 提示하고, 그 妥當性을 立證하기 위해 마이크로프로세서에 의한 디지털처리 方式으로 實驗을 通해 이를 具用해 보았다.

이 結果로 디지털 方式의 技法으로 任意의 高調波 除去가 可能하고 同時に 電壓制御도 可能하다는 것을 고찰하게 되었으며, PWM 인버터 스위칭 電子의 구동을 위한 PWM 信號 데이터는 順覽表 方式을 利用하여 實行時間은 短縮시킬 수 있었다. 또한 PWM 信號을 發生하기 위한 하드웨어 構成은 마이크로프로세서와의 適用性이 優秀하고 構成方法이 簡單하여, 回路變更 및 擴張이 容易하였다.

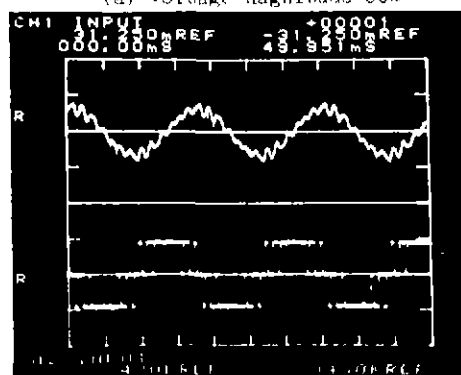
以上 本研究에서 具現한 PWM인버터의 特定高調波除去 및 電壓制御 技法은 産業機器에서 널리 使用되고 있는 誘導電動機의 可變速 制御에 效果的으로 利用될 수 있으리라 思料된다.

参考文獻

1. HASMUKE S. PATEL and RICHARD G. HOFT, "



(a) Voltage Magnitude 50%



(b) Voltage Magnitude 100%

Fig. 5-9 Current & Line Voltage at no 5, 7, 11, 13th

Generalized Techniques of Harmonic Elimination and Voltage Control in Thyristor Inverters: Part I-Harmonic Elimination", IEEE Trans. Ind. Appl., Vol. IA-9, pp310~317, May/June, 1973.

2. HASMUKE S. PATEL and RICHARD G. HOFT, "Generalized Techniques of Harmonic Elimination and Voltage Control in Thyristor Inverters: Part II-Voltage Control Techniques", IEEE, Trans. Ind. Appl., Vol. IA-10, pp666~673, Sep/Oct 1974.
3. B. Mokryzki, "Pulse Width Modulated Inverters for AC Motor Drives", IEEE Trans. Ind. Gen. Appl., Vol. IGA-3, pp493~503, Nov/Dec 1967
4. Min Ho Park and Seung Ki Sul, "Microprocessor-Based Optimal Efficiency Drive of an Induction Motor", IEEE Trans. Ind. Ele., Vol. IE-31, pp69~73, Feb. 1984.
5. Vithl V. Athan and Sudhir M. Deshpande, "Microprocessor Control of a Three-Phase Inverter in Induction Motor Speed Control System", IEEE Trans. IECI, Vol. IECI-27, pp291~298, Nov. 1980.